

# 藍芽 MAC 層排程機制效能之研究

廖啟宏

中華大學資訊工程學系

m9002020@chu.edu.tw

嚴力行

中華大學資訊工程學系

lhyen@chu.edu.tw

## 摘要

Bluetooth 是同時支援語音及資料傳輸的短距離無線網路。Bluetooth MAC 層頻寬分配是以 Polling 為基礎，由單一的 Master 裝置動態分配傳送資料封包的時槽給其他所有的 Slave 裝置。標準的做法中，Master 會以 Round-Robin 的方式對每一個 Slave 進行 Polling，而陸續也有許多學者提出各式的排程機制，分為預視與非預視兩大類。目前所見機制的效能評估，普遍建立在所有 Slave 送給 Master 的交通流量是一致的 (Uniform)，而且 Master 與 Slave 之間的交通流量是對稱的 (Symmetric) 兩項假設上。我們觀察發現，當這兩項假設不成立時，現有機制的效能表現會有很大差異。在本文中我們除了使用傳統的交通流量的量測方式，並加入了在藍芽排程機制於交通流量非一致、非對稱的環境下的測試。以及探討排程機制在不同交通流量模式下其頻道使用率、封包延遲以及佇列長度與排程效能的關連性，並針對所得結果加以分析。

**關鍵詞：** Bluetooth, Wireless Network, Round-Robin, MAC, Scheduling.

## 一、簡介

近年來，由於網路服務的多樣化和行動計算需求的普及，無線通訊漸漸在現代科技生活中扮演重要的角色。現有無線通訊網路中，除了商業性服務的長距離無線電信系統（如 GSM、GPRS）以外，還有運作於 2.4 Ghz ISM 頻段 (The Industrial, Scientific, and Medical band; The ISM band) 的短距離無線通訊網路。

其中短距離無線通訊網路中又可概分為無線區域網路 (Wireless Local Area Network; WLAN) 和無線個人網路 (Wireless Personal Area Networking; WPAN) 兩類 [2][6]。其中 WLAN 系統以 IEEE 802.11b/a 為代表，實體層傳輸技術主要是直接序列展頻 (Direct-Sequence Spread Spectrum)，多應用在網際網路的無線擷取服務。另外 WPAN 則以 Bluetooth 為代表，以跳頻展頻 (Frequency Hopping Spread Spectrum) 為實體層傳輸技術 [7]，以取代近距離同質 / 異質性週邊的纜線連

接為主要目的，亦可藉由跨越 Bluetooth 配備週邊，擷取遠距離的資料及語音服務。一群 Bluetooth 裝置亦可形成無線隨意網路 (Ad hoc networks)，彼此互相進行通訊。

Bluetooth 網路的最小運作單位稱為 Piconet。一個 Piconet 由 2 個到 8 個不等的 Bluetooth 裝置（配備有 Bluetooth 傳輸功能的周邊設備，如手機、PDA、印表機等）組成。Piconet 的形成是由一個扮演 Master 角色的 Bluetooth 裝置發起，由它負責召集在其通訊距離內的其它 Bluetooth 裝置（最多可到 7 個）形成，而被召集的 Bluetooth 裝置稱為 Slave。一個 Piconet 中只能存在一個 Master，其餘裝置則皆扮演 Slave 的角色。Master 以 TDD scheme 將傳輸時間切割成長度為 0.625ms (1/1600 秒) 的時槽 (Time slot)，在既定的 79 個頻道上，以跳頻的方式傳送資料。偶數編號之時槽固定作為下行 (Master-to-Slave) 資料的傳送，奇數時槽則為上行 (Slave-to-Master) 資料的傳送。

Bluetooth 的 Master 在 MAC 層負責兩項任務：1. 轉送 (switching)：轉送自己與 Slave 產生的封包。2. 排程 (scheduling)：安排 Slave 的封包傳送權。Master 與 Slave 之間建立的連結 (Link) 與排程的方式亦有所不同。Master 與 Slave 之間的連結分為兩種，一種是 Synchronous Connection Oriented (SCO) 連結，另一種則是 Asynchronous Connection-Less (ACL) 連結。SCO 連結是全雙工 (Full Duplex) 的連結，主要用於需要較高服務品質的語音資料傳送。為了保證頻寬，Master 須預留 SCO 連結所需之雙工時槽 (Duplex Slots)。

ACL 連結主要用於傳送資料封包，是由 Master 動態分配時槽的連結。Bluetooth 定義了數種 ACL 資料封包格式，分別需要佔用一、三、或五個時槽的傳送時間。Master 可在偶數時槽傳送資料封包給某個 Slave，此 Slave 接收封包後，如有要傳送給 Master 的封包，可在緊接著的奇數時槽傳送 (如圖 1 所示)。而如果 Master 未傳送任何封包給某個 Slave，該 Slave 即無機會傳送資料給 Master。由上述描述可知，Bluetooth ACL 的 MAC 機制乃是以 Polling 為基礎。

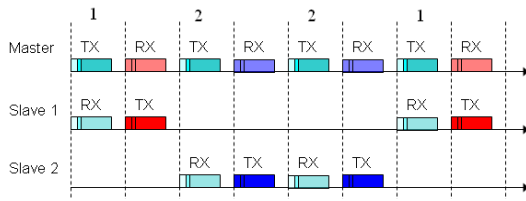


圖 1. 藍芽 Master Polling 的排程機制

在此機制中，每個 Slave 都有一 Slave-to-Master Queue (簡稱 Slave Queue)，存放 Slave 欲送至 Master 的資料封包。Master 也為每個 Slave 準備一個對應的 Master-to-Slave Queue (簡稱 Master Queue)，存放 Master 欲送至各個 Slave 的資料封包。Master 藉由拜訪每一個佇列的方式來服務排隊等候的顧客，而其拜訪佇列的順序規則，即為 Polling 機制的規則集合 (Rules Set) [9]。Master 必要時會傳送沒有任何實際有用資料的 Poll 封包給某個 Slave，以讓該 Slave 有機會傳送其資料封包。當 Slave 接收 Poll 封包後，若無資料封包傳送，亦需在下一個時槽回覆 Null 封包，以作為 Master 的回覆確認。顯而易見地，Bluetooth Polling 的規則集合將會影響其效能，如服務延遲 (Delay) [3,8,10,16]、頻寬利用率 (Utilization) [3,8,13]、公平性 (Fairness) [16,15] 佇列等待長度 (Queue length) 等。

依照 Bluetooth 規格書 [1] 中所訂定基本的作法，Master 會以 Round-Robin (RR / PRR) [3,10-11,12,14] 的方式對每一個 Slave 進行 Polling，亦有許多學者陸續提出各式的排程 (Scheduling) 機制 [3,4]。依據是否假設 Master 知道 Slave 的佇列狀態，現有 Bluetooth MAC 排程機制大致可分為非預視排程 [3,10] 與預視排程 [5][11] 兩類。預視排程為理想化排程方式，要求 Master 事先知道 Slaves 的佇列狀態等資訊，並不切實際，在此文中不予考慮。在非預視排程中，Master 無法事先預知 Slave queue 的資訊，Master 只能依據 Master 單方面的資訊進行排程，或是與 Slave 交換封包後，藉由 Slave 回傳的訊息得知，較符合實際藍芽的運作狀況。

許多 MAC 排程機制宣稱有較高的產出量 [5,8,12]、較低的封包延遲、以及較佳的公平性 [4,12,14]。不過我們觀察到，其所謂效能上的增進，普遍建立在一個不客觀的運作環境上，即假設每個 Slave 之間送給 Master 的交通流量是一致的 (Uniform)。直覺上，如果每個 Slave 之間送給 Master 的交通流量並非一致時，這些排程機制的效能表現應該會有差異。此外，目前所有的排程機制的效能評估也假設每個 Slave 送至 Master 與 Master 送至該 Slave

的交通流量是對稱的 (Symmetric)。但由於實際藍芽的運作環境，是在多樣化不同性質的周邊，隨著周邊設備本身的特性和使用率，以及需作跨越網路轉送封包的設備而言，我們認為此假設並不符合真實藍芽的運作狀況。如果 Master 與 Slave 之間的交通流量是非對稱的 (Asymmetric)，只根據 Master 的佇列狀態進行排程，效能可能不佳。

在模擬量測上我們除了使用了傳統的一致且對稱的交通流量模式外，並對非對稱與非一致的交通流量模式進行測試分析，加強在不同流量下排程的客觀性。模擬中，我們採用現有藍芽排程中的 PRR [1,3,10-11,12,14]、ERR [3,10]、RR-FCFS [9]。因我們假設 Master Queue 長度沒有限制，所以在 [3] 提及的 EPM 不考慮為排程方法之一。在實驗中，假設在交通流量為一致、非一致、對稱、非對稱的各種情況下，三種排程在藍芽 MAC 的頻道使用率 (Channel utilization)、封包延遲 (Packet delay)、佇列長度 (Queue length) 與排程效能的關連性進行模擬測試，並針對所得結果與排程在各種交通流量模式下的結果加以分析，並推測解釋可能的原因，以提供以後更多研究的參考測試。

## 二、排程機制與實驗環境

我們進行模擬實驗的環境如圖 2 所示。所有的實驗均假設 Piconet 中 Slave 個數為 7 個。每個 Slave 個別維護自己的 Slave-to-Master Queue，存放欲傳送給 Master 的封包。Master 也各自為每個 Slave 維護 Master-to-Slave Queue，存放下行封包。

我們以 VC++ 來撰寫排程模擬程式，對 PRR、ERR 與 RR-FCFS 三種非預視排程進行效能研究。這三種排程方式簡述如下：

### ◆ PRR (Pure Round-Robin)

Master 依照特定順序輪流送對各個 Slave 送出資料封包或 Poll 封包。收到資料封包或 Poll 封包的 Slave 可以回傳一個資料封包。即使 Slave 沒有資料封包要傳送，仍然要回傳一個 Null 封包。

### ◆ ERR (Exhaustive Round-Robin)

Master 仍依照特定順序輪流 Polling 各 Slave。與 PRR 不同的是 Master 可以持續送封包給同一個 Slave，而被 Polling 到的 Slave 也可以在回傳資料封包時，夾帶訊息要求 Master 繼續 Polling 此 Slave，直到 Master 與此 Slave 的傳送佇列清空為止。在這過程中即使 Master 已沒有資料封包要傳送給此 Slave，Slave 仍可以要求 Master

繼續傳送Polling封包給它。

◆ RR-FCFS (Round-Robin with First-Come-First-Serve)

Master依據Master Queue的狀態採用兩種不同的排程。當Queue不為空時，Master依照封包產生的順序傳送資料封包，即FCFS(或稱FIFO);當Queue為空時，Master則使用RR的方式Polling Slave。此排程機制中的RR為接續式，即當Master中途搶先執行FCFS後，再度執行RR時，Master會由上一次執行完RR服務順序的下一個Slave接著進行Polling。

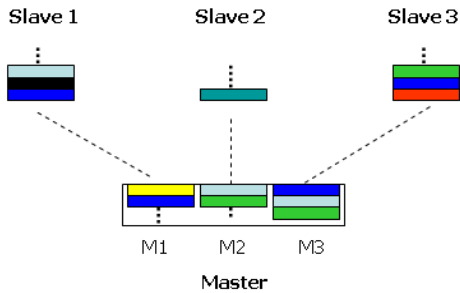


圖 2. Slave-to-Master & Master-to-Slave queues

我們假設每個 Master-to-Slave Queue 和 Slave-to-Master Queue 的資料封包均依波氏程序 (Poisson process) 獨立產生。我們令  $\lambda$  為波氏程序的平均產生率，單位為 packet/slot-pair。且令  $\lambda_M(i)$  為 Master 送給 Slave  $i$  的封包產生率， $\lambda_S(i)$  為 Slave  $i$  送給 Master 的封包產生率。實驗所用到的封包類型為 DH1 資料封包、Poll 封包、Null 封包，均佔用一個時槽的傳送時間。此外  $\mu$  為封包最大服務率，其值固定為 1 packet/slot-pair。

我們實驗所使用的交通模式 (Traffic Pattern)，將包含以下各種情形：

- **一致與非一致 (Uniform and Non-uniform) 流量**：各個 Slave 之間送給 Master 的交通流量或 Master 送給各個 Slave 之間的交通流量可相同或不相同。
- **對稱與非對稱 (Symmetric and Asymmetric) 流量**：Slave 送至 Master 與 Master 送至該 Slave 的交通流量可相同或不相同。

我們將對現有的三種非預視排程 PRR、ERR 及 RR-FCFS，在假設 Master 與 Slave 的封包產生率分別為，一致、非一致、對稱、非對稱的各種交通流量情況下，測試並比較分析下列幾項的效能表現：

1. **頻道利用率 (Channel Utilization)**：亦

即時槽利用率，為實際傳輸資料時槽數目與最大可用時槽數目的比值。在我們的模擬實驗中，是一個排程運作穩定性的重要參考指標。

2. **封包延遲 (Packet Delay)**：為封包到達佇列至離開佇列之間所花的時間。平均封包延遲表示排程機制在此項目的平均值。這項效能應該是評估排程機制優劣的最重要考量因素[8]。
3. **佇列長度 (Queue Length)**：佇列長度定義為佇列中封包的數量，我們測量佇列的平均長度(Average Queue Length)。

### 三、實驗結果與分析

#### 對稱且一致型 (1m1s)

此實驗中，我們令  $\lambda_M(i) = \lambda_S(i) = \lambda/7$  對所有  $i$  成立。即 Master 與 Slave 的封包到達率呈對稱而且各個 Slave 之間的封包到達率也呈一致。

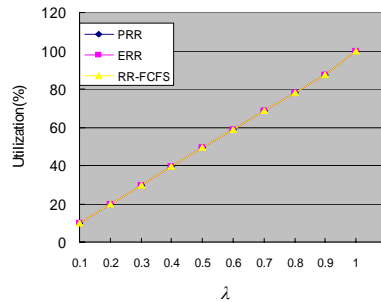


圖 3. Channel utilization in 1m1s

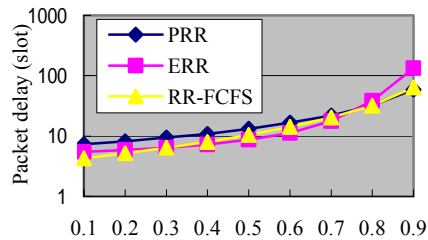


圖 4. Average packet delay in 1m1s.

#### 頻寬利用率

圖 3 顯示 PRR、ERR 及 RR-FCFS 三種排程於不同  $\lambda$  值下的頻寬利用率。可以看到頻寬利用率與  $\lambda$  成正比，且三種排程效能幾乎相同，這是由於  $\sum \lambda_M(i) = \sum \lambda_S(i) < \mu$ 。事實上，由於三種排程除了傳送資料封包外，剩餘時槽皆用來傳送 Poll 和 Null 封包，頻寬利用率與發送 Null 與 Poll 封包的比例恰好相反。

#### Packet Delay

圖 4 顯示三種方法的封包延遲。RR-FCFS

在  $\lambda$  值小於 0.3 與大於 0.75 時, Packet delay 較小。這是由於封包到達率較低時, Master-to-Slave Queue 產生的資料封包即可立即以 FCFS 方式處理, Slave-to-Master Queue 也有較高機會在執行 RR 時被服務到, 比起 PRR 或 ERR 來有較小延遲。在  $\lambda > 0.75$  時, Master-to-Slave Queue 被執行 FCFS 的頻率較高, 相對 Slave-to-Master queue 被 polling 的頻率也增高, 所以整體封包延遲還算不錯。

ERR 整體表現還算不錯, 只有由圖 4 中在  $\lambda > 0.8$  明顯較差, 顯示 ERR 在  $\lambda$  值高時, 容易停留在處理單一 Slave 過長的時間, 而造成其他 Slave 的 Packet delay 明顯增加。

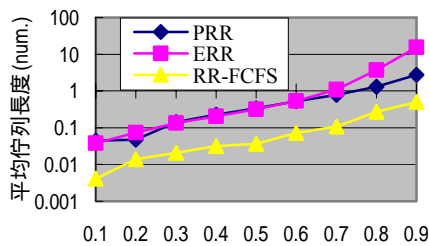


圖 5. 1m1s 中 Master 的平均佇列長度

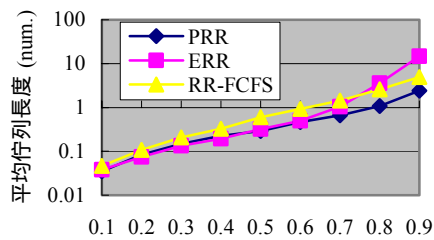


圖 6. 1m1s 中 Slave 的平均佇列長度

PRR 整體則是偏差, 但是也顯示公平分配時槽的特性, 在  $\lambda > 0.8$ , 每一個 Slave 與 Master 都有較頻繁的封包傳送, 相對也減少浪費在傳送空封包的機會, 所以在  $\lambda$  值高時, 反而有較好表現。RR-FCFS 在  $\lambda$  值高時, 仍然能保持與 PRR 相當接近。

#### Average queue length

圖 5-6 分別為 Master queue 與各個 Slave queue 的平均佇列長度。圖 5 中, RR-FCFS 的 Master queue 平均佇列長度明顯遠較其他兩個方法度小, 這是由於 FCFS 能即時清空佇列的結果。ERR 在  $\lambda > 0.6$  後, Master queue 的長度就較 PRR 明顯增長。這是由於 ERR 在  $\lambda$  值大時, 需要停留在某對 Maste/Slave 做清空 queue 的時間加長, 導致要傳送給其他 Slave 的 Master queue 長度平均較長。

在 Slave queue 方面, 圖 6 中 RR-FCFS 在  $\lambda > 0.35$ , 則明顯較 PRR 略大。這是由於  $\lambda$

值較大時 Mater 執行 FCFS 頻率較高, Slave 在 FCFS 過程較少機會被 Polling 到, 需在 Master queue 清空時執行 RR 才有較多機會被 Polling 到。但整體仍與 ERR 相近。而 PRR 在整體上則保持較為穩定且不錯的 queue 長度。

圖 5 與圖 6 比較, 由於 PRR 與 ERR 都是屬於 Master 與 Slave 較為平均兼顧的排程, 所以在 Master 與 Slave 的平均佇列長度的堆積曲線是相似的, 而 RR-FCFS 則是 Master 明顯較好, 而 Slave 平均整體表現則是與 ERR 相近。因為 Master-to-Slave Queue 平均而言是 Slave-to-Master Queue 長度的七倍, 所以在 Master-to-Slave Queue 表現較佳的方法, 如 RR-FCFS, 實際上應會有較佳的效能表現。

#### 非對稱、一致型 (2m1s)

此實驗中, 我們令  $\lambda_M(i) = \lambda/7$  且  $\lambda_S(i) = \lambda/14$  對所有  $i$  成立。即 Master queue 的封包到達率(下行)為 Slave queue(上行)的 2 倍, 而各個 Slave 之間 Master-Slave 各對(Pair)的封包到達率為一致的情形。

#### 頻道利用率

三種排程的頻道利用率大致情形與 1m1s 相同, 因為此時  $\sum \lambda_M(i) = \sum \lambda_S(i) < \mu$  也成立。不過此處 Slave 的封包到達率較 1m1s 時為低, 所以其頻道利用率也較 1m1s 時為低, 在  $\lambda = 0.9$  時, 頻道利用率約只有 66.2%。另外, 當  $\sum \lambda_M(i) > 0.9$  時, 雖然  $\sum \lambda_S(i)$  才大於等於 0.45, 但由於  $\sum \lambda_M(i)$  已接近穩定排程的負荷值, 所以不被考慮。

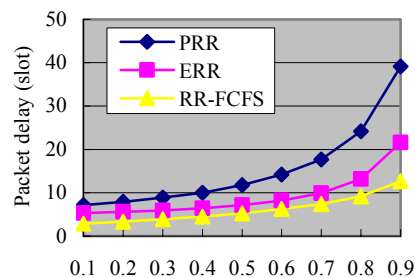


圖 7. 2m1s 中的平均封包延遲。

#### Packet Delay

圖 7 為三種排程的平均封包延遲。RR-FCFS 效能明顯較好。這是由於在 Master 的  $\lambda$  值比例較高時, 優先執行 FCFS 的次數較頻繁, 能迅速的處理 Master queue 的封包, 連帶消耗部分 Slave queue 的封包的頻率也較高, 加上 Slave 的  $\lambda$  值較小, 使得整體的封包延遲降到最低。而 ERR 也因為在一次清空要 Master 與連帶清空  $\lambda$  值較低的 Slave 才換下一個 Slave 的特性下, 明顯比 PRR 好。



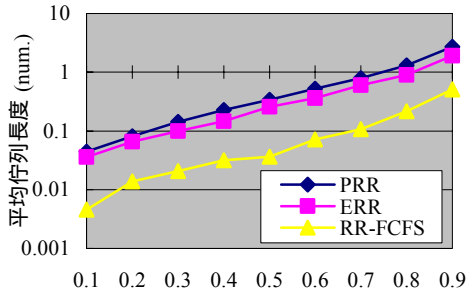


圖 8. 2m1s 中 Master 平均佇列長度.

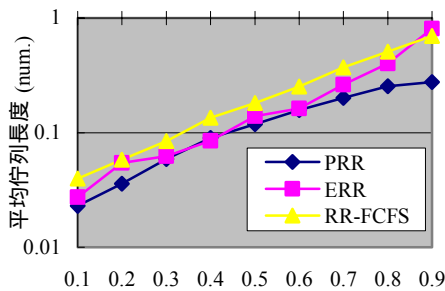


圖 9. 2m1s 中 Slave 平均佇列長度.

#### Average queue length

圖 8 是 Master queue 的平均佇列長度。在 2m1s 下 Master queue 雖然  $\lambda$  值的比例較高但 RR-FCFS，依然能迅速的處理 Master queue 的封包，讓 queue 的平均長度保持比其他兩個方法短。

在圖 9 中，Master 雖然較高  $\lambda$  比例連帶能讓 Slave 被 Polling 的次數較為頻繁，但是 Master 執行 FCFS 的次數較多，相對 RR 次數較少。而且 FCFS 是依照 Master 做排程，所以服務並無法顧及實際需要傳送封包的 Slave。因此 Slave queue 的平均堆積長度略長於 PRR。但是在  $\lambda$  值大時仍較 ERR 為佳。

#### 非對稱、一致型 (1m2s)

我們令  $\lambda_M(i) = \lambda/14$  且  $\lambda_S(i) = \lambda/7$  對所有  $i$  成立。即上行封包到達率為下行的 2 倍，而各個 Slave 之間的封包到達率為一致的情形。

#### 頻道利用率

三種排程的頻道利用率與 2m1s 類似，因為此時  $\sum \lambda_M(i) = \sum \lambda_S(i) < \mu$  也成立。1m2s 的封包到達率以 Master 較低，在  $\lambda = 0.9$  時頻道利用率大約只有 66.6%。

#### Packet Delay

圖 10 為平均封包延遲。RR-FCFS 在  $\lambda < 0.5$  的情況下，還算比 PRR 為佳，但是大於 0.5 以後就明顯較差。這是由於 RR-FCFS 在  $\lambda > 0.5$

時 Slave 的累積封包已越來越多，但 Master 封包到達率仍然較低，所以多半只能執行 RR，而 RR 消耗 Slave Queue 的速度較為緩慢，再加上執行 FCFS 無法針對累積封包較多的 Slave 提供較多的服務，使得整體系統有較高的封包延遲。ERR 則由於在 Slave 的  $\lambda$  比例高的情況下，能一次清空所有 Slave Queue，較 PRR 浪費時槽傳送空封包，在 Packet Delay 上明顯較 PRR 和 RR-FCFS 低。

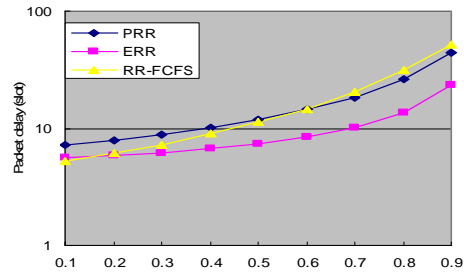


圖 10. 1m2s 中的平均封包延遲.

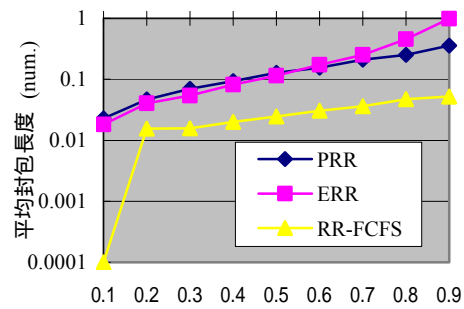


圖 11. 1m2s 中 Master 的平均佇列長度

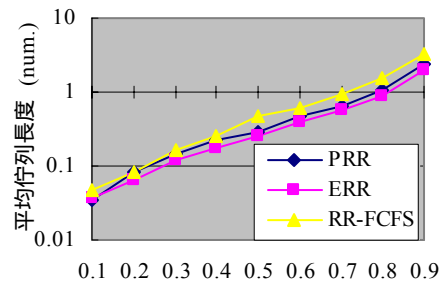


圖 12. 1m2s 中 Slave 的平均佇列長度.

#### Average queue length

圖 11 是 1m2s 下 Master Queue 的平均長度。由圖中可以明顯看出 RR-FCFS 的表現比其他兩種排程好，甚至比起在其他情況的交通模式下都還好，尤其在  $\lambda$  值小時更為明顯。這是由於在 1m2s 的交通流量下，Master 相對  $\lambda$  比例低，產生的封包較少，再加上 Master Queue 一有封包便很快搶先用 FCFS 排程優先處理，所以 RR-FCFS 的表現到了最佳的狀態。

相反的圖 12 中 Slave queue 的平均累積長度中，RR-FCFS 顯示較差是可以預期的，由於 Slave 的  $\lambda$  比例較高，又要等到 Master Queue 清空時才能執行 RR。但並沒有預期的差，在  $\lambda$  值小時，由於執行 RR 的次數較多，所以還是能保持與 ERR 相當接近。

由圖 11 圖和圖 12 圖的比較可以得知在圖 10 中 RR-FCFS 的 Packet delay 平均值所產生較差的表現，應該是由 Slave Queue 所造成的 Queuing Delay。

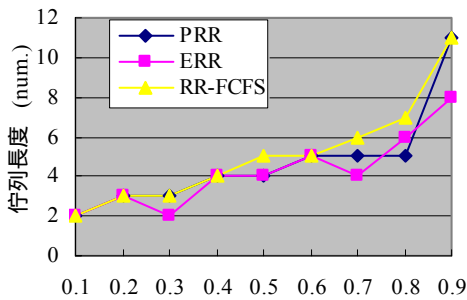


圖 13. 1m2s 中 Slave 的最大佇列長度

圖 13 為 Slave 的最大 Queue 長度。三種方法在整體表現上相近，並沒有如圖 12 平均 Queue 長度上的表現 RR-FCFS 在 Slave Queue 上有特別明顯的較差。

#### 對稱、非一致型 (Non-uniform)

我們令  $\lambda_M(1) = \lambda_M(3) = \lambda_M(5) = \lambda_M(7) = \lambda/12$ ;  $\lambda_M(2) = \lambda_M(6) = \lambda/6$ ;  $\lambda_M(4) = \lambda/3$ ; 且  $\lambda_S(i) = \lambda_M(i)$  對所有  $i$  成立。即下行與上行封包到達率為對稱，而各個 Slave 之間的封包到達率為非一致的情形。

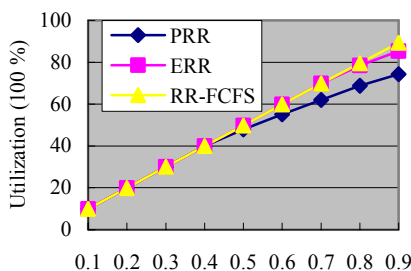


圖 14. Channel utilization in Non-uniform.

#### 頻道利用率

圖 14 是對稱且非一致型的頻道利用率。在此實驗中雖然  $\sum \lambda_M(i) = \sum \lambda_S(i) < \mu$ ，但是由於比例分配的差異，每一個 Slave 的負荷也各不同。可以明顯看出 PRR 在  $\lambda > 0.4$  以後就出現明顯不穩定的情況，整體的頻道利用率已無法達到預期的比例。而 ERR 也在  $\lambda > 0.7$  以後，略有降低的情況產生，只有 RR-FCFS 仍然保持相

當穩定的運作狀態。PRR 的運作方式，在對稱且非一致的情況下，對於某些  $\lambda$  比例分配較大的 Master-Slave pairs 已無法在固定運作時間內處理完所有封包，而仍然把時槽浪費在  $\lambda$  比例分配較小的 Master-Slave pairs 上傳送 Poll 和 Null 封包，導致整體的頻寬利用率下降。ERR 於每一個 Master queue 與 Slave queue 清空後才換下一對，對於  $\lambda$  比例高的 Master-Slave pairs 仍能保持不錯的效能，但由於 ERR 多半在系統  $\lambda$  值較大時表現較差，在對稱且非一致型的情況下， $\lambda$  值大時也出現不穩定的情況。

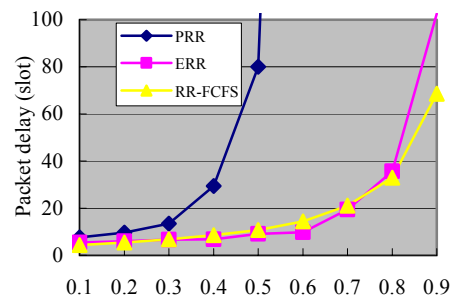


圖 15. Average packet delay in Non-uniform

#### Packet Delay

圖 15 為平均封包延遲的結果。我們可以看到 ERR 於  $\lambda > 0.8$  時和 PRR 於  $\lambda > 0.4$  時，封包延遲急速增加。這是由於第 4 對 Master 與 Slave 的封包產生速率  $\lambda_M(4) = \lambda_S(4) = \lambda/3$  遠大於平均值  $\lambda/7$ ，使得 PRR 在  $\lambda > 0.4$  時，便無法負荷。ERR 與 RR-FCFS 在  $\lambda < 0.8$  時，大致與圖 4 的結果相近。

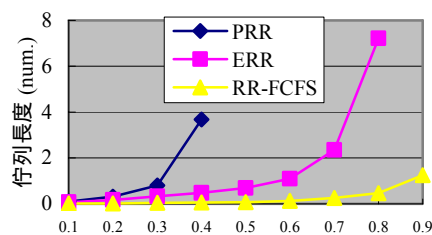


圖 16-1. Master-to-Slave 4 的平均佇列長度

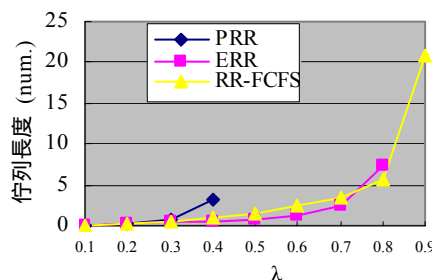


圖 16-2. Slave4-to-Master 的平均佇列長度

### Average queue length

圖 16-1 與圖 16-2 為第四對 Master 與 Slave 的 Queue 平均長度。由於在這非一致型的比例下，第四對所分配  $\lambda$  的比例為最高的。圖 16-1 中 RR-FCFS 在 Master Queue 上仍有相當好的表現。但是在圖 16-2 中 Slave Queue 上當  $\lambda > 0.4$  時就差於 ERR。但就整體而言仍較 ERR 好，因為在系統  $\lambda > 0.8$  時 ERR 就出現 Queue 長度無限增長的趨勢。

### 非對稱、非一致型 (NuA)

我們令  $\lambda_M(1)=\lambda_M(3)=\lambda_M(4)=\lambda_M(6)=\lambda/12$ ;  $\lambda_M(2)=\lambda_M(5)=\lambda/6$ ;  $\lambda_M(7)=\lambda/3$ ; 且  $\lambda_S(2)=\lambda_S(4)=\lambda_S(5)=\lambda_S(7)=\lambda/12$ ;  $\lambda_S(3)=\lambda_S(6)=\lambda/6$ ;  $\lambda_S(1)=\lambda/3$ 。

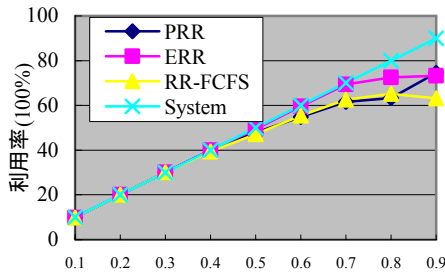


圖 17. Channel utilization in NuA (Non-uniform & Asymmetric).

### 頻道利用率

圖 17 顯示頻道利用率。圖中 System 是指在穩定運作下排程應該達到的理想利用率。三種方法都無法在非一致且非對稱的交通流量模式下穩定運作。其中以 ERR 的情況較佳，在  $\lambda > 0.7$  時才明顯出現不穩定的情況，RR-FCFS 則與 PRR 相近，在  $\lambda > 0.4$  就明顯出現 Utilization 下降的情形。這是由於 ERR 在這種流量模式下，較能針對 Master Queue 與 Slave Queue 不同比例的封包產生率，提供不同的服務率。RR-FCFS 則是受到 RR 的機置所影響而與 PRR 相接近。

### Packet delay

圖 18 是三種排程在平均 Packet delay 上的情形。RR-FCFS 在  $\lambda > 0.3$  以後 Packet delay 明顯較大，而 PRR 和 ERR 則分別出現在  $\lambda > 0.4$  及  $\lambda > 0.7$  以後，與 Utilization 結果相似。主要的影響並非整體的 Packet delay 都變大所造成的，應該是由於某幾對 Master-Slave pair(如 Master-Slave1 與 Master-Slave7)在非對稱流量的落差較大所造成。其他的 Master-Slave pair 在  $\lambda$  值小時，仍然能保持穩定的運作。所以由圖 18 下圖，就整體來看雖然 RR-FCFS 因為 Master-Slave1 產生的延遲較大，導致整體 Packet delay 在  $\lambda$  較小時就明顯

拉升。但在  $\lambda$  較大時卻能持平穩定，PRR 也是。而 ERR 雖然能保持在  $\lambda$  較大才拉升，但卻有 Packet delay 急速加大的情形。這是由於 ERR 在  $\lambda$  大時，會耗費更多的時間處理 Master-Slave1 與 Master-Slave7，而導致其他的 Master-Slave pair 平均的 Packet delay 明顯加大所導致。

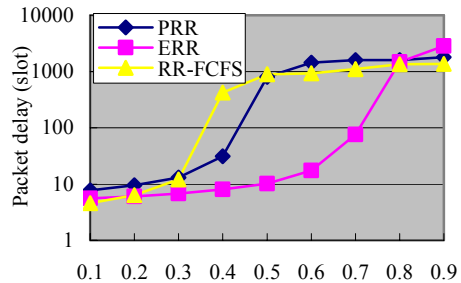
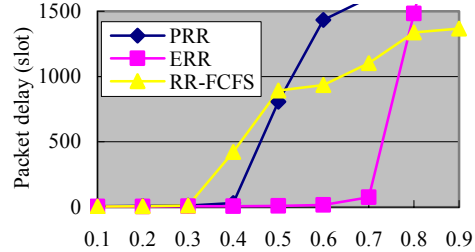


圖 18. Average packet delay in NuA. (上) Master. (下) Slave.

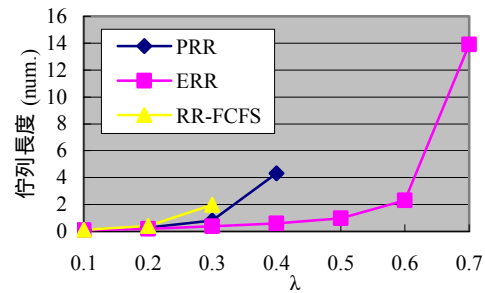
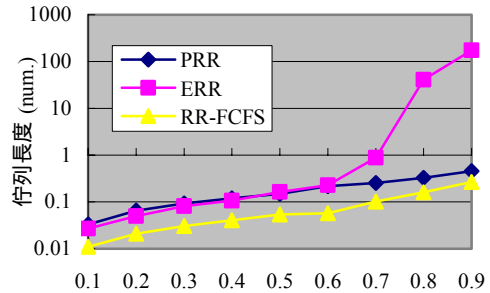


圖 19. Average queue length of Master (上) and Slave #1 (下) in NuA.

### Average queue length

不同的 Master-Slave 對表現並不相同。以 Master-Slave1 而言(圖 19),  $\lambda_M(1) = \lambda/12 < \lambda_S(1) = \lambda/3$ 。各個排程在 Master 佇列長度上, RR-FCFS 仍明顯比其他兩種方法好, 其次是 PRR、然後 ERR。在 Slave 佇列長度上三種排程方式都出現不穩定的情況, 其中 RR-FCFS 在  $\lambda > 0.3$ , PRR 在  $\lambda > 0.4$ , ERR 在  $\lambda > 0.7$  時出現不穩定情形, 與 Utilization 所測得的結果相近。但以 Master-Slave7 而言, 恰與 Master-Slave 1 相反, 是  $\lambda_M(1) = \lambda/3 > \lambda_S(1) = \lambda/12$ 。所以在 Master 佇列長度上 PRR ( $\lambda > 0.4$  時)與 ERR ( $\lambda > 0.7$  時), 種排程方式也出現不穩定的情況, 而 RR-FCFS 仍然保持穩定的狀態。在 Slave 佇列長度上, RR-FCFS 與 PRR 相近, 但在  $\lambda$  高時比 PRR 略好, 這是由於 RR-FCFS 在 Master 的  $\lambda$  值較高時, 連帶 Polling Slave 的頻率也增加的結果。

由 Master-Slave1 與 Master-Slave7 的比較可知, 在 RR-FCFS 造成利用率  $< \lambda$  主要是由 Master-Slave1 所造成, 而 PRR 和 ERR 則除了 Master-Slave1 外還有 Master-Slave7 所影響。而 Master-Slave1 的 Master Queue Length 與 Master-Slave7 的 Slave Queue Length 是相近的。

### 四、結論

總結實驗結果, 就 Packet delay 而言, ERR 除了在一致、對稱的 heavy load 時較 PRR 差外, 其餘狀況均勝過 PRR。RR-FCFS 在對稱狀況下, 效能與 ERR 在伯仲之間; 在非對稱狀況下, 如 Master 的封包到達率較高時, 則效能較 ERR 好, 反之則不然。就平均 queue 長度而言, 無論在任何情況下 RR-FCFS 始終有最小的 Master queue 長度。

不同的藍芽排程方式, 對於藍芽 Piconet 的運作效能有顯著的影響。而我們加入與先前提出所不同的模擬交通流量模式, 非對稱型與非一致型, 試圖使模擬更接近, 各種不同網路交通情況的實際運作情形。並在這些交通模式下對不同排程的頻道使用率、封包延遲、佇列長度, 的效能結果分析其與排程效能的關連性, 並針對各排程在各種交通流量模式下的結果加以分析, 並推測解釋可能的原因, 以提供以後更多藍芽排程研究的參考和測試。

### 參考文獻

- [1] Bluetooth SIG, *Specification of the Bluetooth System - Version 1.1 B*, Feb. 2001.
- [2] A. Kamerman, "Coexistence Between Bluetooth and IEEE 802.11 CCK Solutions to Avoid Mutual Interference", IEEE 802.11-00/162, July 2000.
- [3] A. Capone, M. Gerla and R. Kapoor, "Efficient polling schemes for Bluetooth picocells," in *Proc. of IEEE ICC*, vol. 7, pp. 1990-1994, Helsinki, Finland, June. 2001.
- [4] A. Das et. al., "Enhancing performance of asynchronous data traffic over the Bluetooth wireless ad-hoc network," in *Proc. of IEEE INFOCOM'01*, pp.591-600, 2001.
- [5] Daqing Yand, G. Nair, "Round robin with look ahead: a new scheduling algorithm for Bluetooth," in *Proc. IEEE International Conference on Parallel Processing Workshops*, pp. 45-50, 2002
- [6] J. Lansford et. al., "Wi-Fi (802.11b) and Bluetooth: enabling coexistence," *IEEE Network*, 15(5): 20 -27, Sep/Oct. 2001.
- [7] J.C. Haartsen, "The Bluetooth radio system," *IEEE Personal Communications*, 7(1): 28-36, Feb. 2000
- [8] Jong Soo Oh et. al., "An efficient and QoS-aware scheduling policy for Bluetooth," in *Proc. IEEE VTC 2002-Fall*, vol. 4, pp. 2445-2450, 2002
- [9] Chi-Hung Liao, Li-Hsing Yen, "RR-FIFO : A new bluetooth MAC scheduling scheme," *2003 Symposium on Digital Life and Internet Technologies*, NCKU Taiwan, Sept 2003.
- [10] Liron Har-Shai et. al., "Inter-piconet scheduling in Bluetooth scatternets," in *Proc. OPNETWORK 2002 Conference*, Aug. 2002.
- [11] M. Kalia, D. Bansal, and R. Shorey, "Data scheduling and SAR for Bluetooth MAC," in *Proc. of IEEE VTC 2000-Spring*, vol. 2, pp. 716-720, Tokyo, Japan, May 2000
- [12] M. Kalia, D. Bansal, and R. Shorey, "MAC scheduling and SAR policies for Bluetooth: A master driven TDD pico-cellular wireless system," in *Proc. Sixth IEEE International Workshop on Mobile Multimedia Communications (MOMUC'99)*, pp. 384-388, San Diego, USA, Nov. 1999.
- [13] O. Fabin, H. Levy, "Polling system optimization through dynamic routing policies," in *Proc. of IEEE INFOCOM '93*, vol. 1, pp. 194-200, 1993.
- [14] S. Garg, M. Kalia, and R. Shorey, "MAC scheduling policies for power optimization in Bluetooth: a master driven TDD wireless system," in *Proc. IEEE VTC 2000-Spring*, vol. 1, pp. 196-200, Tokyo, Japan, May 2000.
- [15] S. Lu, V. Bharghavan and R. Srikant, "Fair scheduling in wireless packet networks," *ACM SIGCOMM'97*, August 1997.
- [16] Z. Liu, P. Nain, D. Towsley, "On optimal polling policies," *Queueing Systems*, vol. 11, pp. 59-83, 1992.